

## الفصل الخامس عشر

### الفيزياء الحديثة *Modern Physics*

بعد أن يكمل القارئ هذا الفصل، ويستوعب المفاهيم والآفكار والمبادئ التي وردت خلاله، من المتوقع أن يكون قادرًا على:

1. أن يتمكن من معرفة حقيقة الفوتونات وأهميتها في الفيزياء الحديثة.
2. أن يفسر كلاً من الظاهرة الكهروضوئية وظاهرة كومبتون بناءً على خصائص الكميات الفيزيائية للفوتونات كالطاقة والعزم الخطى.
3. أن يفسر العلاقة بين قياس توزيع طاقة الفجوات المشعة وتكم الطاقة.
4. أن يعرف أهمية نظرية العالم بور في الانتقال من الميكانيك الكلاسيكي إلى الميكانيك الكمي.
5. أن يعرف بأن تكم الطاقة قاد إلى معرفة تكم العزم الزاوي للإلكترون في مداره.
6. أن يفسر ارتباط تغير طاقة الذرة بالعدد الكمي.

obeikandl.com

## الفيزياء الحديثة

### *Modern Physics*

#### : *Introduction* 15-1

إن المعلومات الأكيدة التي درسناها عن الضوء لغاية الآن تشير إلى أنه عبارة عن موجات كهرومغناطيسية *electro-magnetic waves*، وهذا ما تؤكد له التجارب العملية لمجموعة الظواهر المعروفة عنه. كالتدخل *interference*، والحيود *diffraction*، والانكسار *refraction*، والانعكاس *reflection*، ويمكننا أن نفسر جميع هذه الظواهر على أساس معادلات ماكسويل *Maxwell's equations* المعروفة. إذ أنَّ هذه المعادلات مبنية على أساس الخاصية الموجية للضوء *wave property*.

إلا أن هناك ظواهر أخرى تؤكد على أن الضوء هو عبارة عن سيل من الجسيمات *stream of particles* يمتلك كل منها طاقته *wave*-*momentum energy* وعزمها الخاص به *particle duality*. إن هذه النظرة الثانية للضوء *modern special relativity theory*، وسنعطي أمثلة تجريبية على ذلك من خلال فقرات هذا الفصل، بعد أن نقدم لذلك بمشروع أو اقتراح أينشتاين *Einstein proposal* الخاص بالضوء.

## 15-2 مشروع أينشتاين : Einstein's Proposal

لقد قدم الفيزيائي الشهير أينشتاين مشروعه الرائد حول سلوك الضوء الذي يظهر كطاقة تمتلكها حزم متقطعة *discrete bundles*، أطلق عليها *كمات الضوء light quanta*، وذلك في العام 1905م، حيث أمكن إزالة العقبة التي كانت تعترض التفسير العلمي للظاهرة العملية - الكهروضوئية - وذلك باستخدامه فكرة عالم الفيزياء النظرية الألماني المعروف ماكس بلانك *Max Planck*، والتي عرضها قبل ذلك بخمس سنوات.

إن مشروع أينشتاين حول تفسير الضوء الكمي هذا، دفعه إلى التقرير بأن *كمات الضوء* أو ما نسميه الآن *الفوتونات photons* يمتلك الواحد منها طاقة تساوي:

$$E = hf \quad (15-1) \quad \text{(طاقة الفوتونات)}$$

حيث إن:

$f$ : هو عبارة عن تردد الموجة الضوئية.

$h$ : هو ثابت بلانك المعروف، والذي يساوي إلى:

$$h = 6.63 \times 10^{-34} \text{ J.s} \quad (15-2) \quad \text{(مقدار ثابت بلانك)}$$

$$h = 4.14 \times 10^{-15} \text{ eV.s}$$

كما أن الفوتون الواحد لا يمتلك هذه الطاقة فحسب وإنما يمتلك عزماً خطياً *linear momentum*، يمكن إيجاده باستخدام العلاقة المعروفة التي تربط وفق مفهوم النظرية النسبية *relativistic relationship* بين عزم الجسيم

وطاقة الكمية كإلكترون مثلاً، ولكن باستبدال كتلة الإلكترون بكتلة الفوتون المساوية للصفر، والعلاقة هي:

$$E^2 = (pc)^2 + (mc^2)^2 \quad (15-3)$$

حيث إن ( $c$ ) هي سرعة الضوء، وهي السرعة التي يتحرك بها الفوتون، وبناء على ما تقدم فإن المعادلة (15-3) تؤول إلى الشكل الآتي:

$$E^2 = (pc)^2$$

$$E = (pc)$$

إلا أنها نعلم بأن سرعة الضوء ترتبط بكلٍ من طوله الموجي وتردداته بالعلاقة الشهيرة ( $\lambda f = c$ )، إذن من خلال هذا وباستخدام المعادلة (1-15) نجد أن:

$$hf = p \lambda f$$

أي أن:

$$p = \frac{h}{\lambda} \quad (15-4) \quad (\text{العزم الخطى للفوتون})$$

وهذه المعادلة تعبّر عن العزم الخطى للفوتون، حيث إن ( $\lambda$ ) تمثل الطول الموجي، والجدير باللحظة هنا، وبعد أن نتأمل جيداً كلّاً من المعادلتين (1-15) و(15-4) نجد أن طاقة الفوتون تتناسب مع تردداته، وأن عزم الفوتون يتتناسب مع طوله الموجي، وفي كلّ الحالتين نجد أن ثابت التتناسب هو ثابت بلانك *Plank constant*.

إن هذا المشروع العظيم لأنّه يمكّنا الآن من التعبير عن الطيف الكهرومغناطيسي بجميع مكوناته بدالة طاقة الفوتون أو عزمه إذا شئنا،

في الوقت نفسه الذي نعبر فيه عن كل ذلك بدلالة الطول الموجي أو التردد أو بهذه الكميات الفيزيائية جميعها معاً. وبهدف إيصال ذلك تأمل جيداً الجدول (15-1) حيث تجد أن عموده الرابع يعطيك مقدار الطاقة لأشهر مناطق الطيف الكهرومغناطيسي، كما يمكنك من ناحية أخرى إيجاد العزم باستخدام المعادلة (4-15).

وهكذا نتبين القيمة العلمية للإنجاز الذي حققه بلانك ثم أكمل مسيرته أينشتين.

مناطق الطيف الكهرومغناطيسي <i>Region of the Electromagnetic spectrum</i>	الطول الموجي <i>Wavelength</i>	التردد <i>Frequency (HZ)</i>	طاقة الفوتون <i>Photon Energy</i>
أشعة غاما	$50 fm$	$6 \times 10^{21}$	$25 MeV$
أشعة X	$50 pm$	$6 \times 10^{18}$	$25 keV$
الأشعة فوق البنفسجية	$100 nm$	$3 \times 10^{15}$	$12 eV$
المرئية	$550 nm$	$5 \times 10^{14}$	$2 eV$
الأشعة تحت الحمراء	$10 \mu m$	$3 \times 10^{13}$	$120 meV$
الأشعة الدقيقة	$1 cm$	$3 \times 10^{10}$	$120 \mu eV$
الأشعة الراديوبية	$1 km$	$3 \times 10^5$	$1.2 neV$

الجدول (15-1)

يبين الأطوال الموجية والترددات

و كذلك طاقة فوتونات أشهر مناطق الطيف الكهرومغناطيسي *electromagnetic spectrum*

**مثال (15-1)**

إذا علمت أنَّ المصدر الضوئي لبخار الصوديوم *sodium vapor lamp* يصدر موجات ضوئية فعالة بطول يساوي ( $\lambda = 589 \text{ nm}$ ). .

أوجد حسابياً مقدار طاقة الفوتونات الموافقة للموجة الضوئية للصوديوم مقاسة بالإلكترون فولت.

**الحل :Solution**

$$\begin{aligned} E = h f &= h \left( \frac{c}{\lambda} \right) \\ &= (4.14 \times 10^{-5} \text{ eV.s}) \frac{(3 \times 10^8 \text{ m/s})}{(589 \times 10^{-9} \text{ m})} \\ &= 2.11 \text{ eV} \end{aligned}$$

**مثال (15-2)**

خلال عملية التحلل الإشعاعي *radioactive decay* لنواة عنصر مشع، تبعث عنها أشعة غاما *Gamma ray* ، إذا كانت فوتوناتها تحمل طاقة  $(1.35 \text{ MeV})$ . مقدارها

أوجد حسابياً مقدار كلِّ من:

1- الطول الموجي الموافق لهذه الفوتونات؟

2- العزم الخطبي *momentum* الذي تمتلكه هذه الفوتونات؟

الحل: *Solution*

-1

$$\begin{aligned}\lambda &= \frac{c}{f} = \frac{hc}{hf} = \frac{hc}{E} \\ &= \frac{(4.14 \times 10^{-15} \text{ eV.s})(3 \times 10^8 \text{ m/s})}{(1.35 \times 10^6 \text{ eV})} \\ &= 9.2 \times 10^{-13} \text{ m} = 920 \text{ fm}\end{aligned}$$

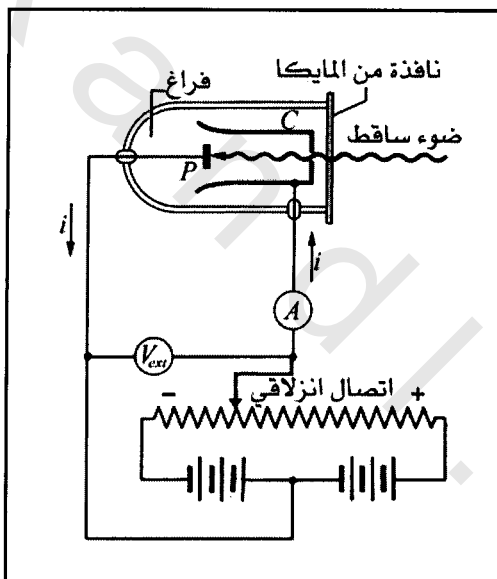
-2

$$\begin{aligned}p &= \frac{h}{\lambda} = \frac{hf}{\lambda f} = \frac{E}{c} \\ E &= (1.35 \text{ MeV}) = 1.35 \times 10^6 \text{ eV} \\ &= \frac{(1.35 \times 10^6 \text{ eV})}{(1 \text{ eV})} \times (1.6 \times 10^{-19} \text{ J}) \\ &= 2.16 \times 10^{-13} \text{ J} \\ p &= \frac{(2.16 \times 10^{-13} \text{ J})}{(3 \times 10^8 \text{ m/s})} \\ &= 7.2 \times 10^{-22} \left( \frac{\text{kg.m}}{\text{s}} \right)\end{aligned}$$

### 3-15 التأثير (الظاهرة) الكهروضوئي : *Photoelectric Effect*

تعتبر هذه الظاهرة بتفسيرها العلمي الصحيح، خير مثال على ما قدمه أينشتين بتقريره أن الضوء قوامه مجموعة هائلة من الفوتونات، ذلك أن هذا الأثر يستحيل استيعابه ما لم نستخدم تفسير أينشتين لطبيعة الموجة الضوئية، في منطقة كلِّ من الأشعة المرئية *visible* والأشعة فوق البنفسجية *ultraviolet* باعتبارهما منطقتي حدوث هذه الظاهرة الهمة.

إن سقوط الأشعة الضوئية على سطح معدني نظيف وصقيل في شروط صحيحة تُسفر عن تحرير إلكترونات من سطح هذا المعدن، وهذا الذي يمكن إدراك أثره وتفسير معناه بناءً على ما قدمه أينشتين. ولعل فتح عملية الأبواب الآوتوماتيكي أو إغلاقها، وعمل منبهات الدوائر السرية *alarm systems* من الأمثلة الشائعة التي يمكن تفسيرها على أساس التأثير الكهروضوئي *photo electric effect*. ولابد من التأكيد هنا بأن الظاهرة في خلاصتها هي عبارة عن تصادم بين الفوتونات الضوئية وإلكترونات المعدن المخصص لاستقبالها، انظر الشكل (15-1).



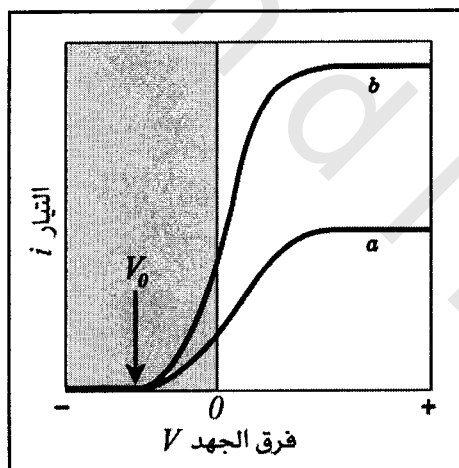
الشكل (15-1)

هذه الأجهزة تستخدم لدراسة الظاهرة الكهروضوئية، ويظهر فيها الشعاع الضوئي الساقط على اللوح ( $P$ )، ثم تأتي مرحلة تجميع الإلكترونات الضوئية على الكأس ( $C$ ) تمر بعد ذلك على جهاز قياس التيار ( $A$ )

إن الشعاع الضوئي ذو التردد ( $f$ ) يضيء القطعة المعدنية ( $P$ ) متسبياً في انبساط الإلكترونات المحفزة ضوئياً منها، والتي تتجه إلى كأس مجمع الإلكترونات ( $C$ ) حيث يوجد فرق جهد مناسب بينهما مقداره ( $V$ ) يسحب هذه الإلكترونات *photoelectrons* ثم تمر عبر مقياس التيار ( $A$ ) تأكيداً على مرورها، إن فرق الجهد الكلي ( $V$ )، انظر الشكل (2-15) نعبر عنه بالمعادلة:

$$V = V_{ext} + V_{cpd} \quad (15-5)$$

حيث إن ( $V_{ext}$ ) تمثل قراءة الفولتميتر المبين في الشكل (15-1)، بينما يمثل ( $V_{cpd}$ ) فرق جهد الاتصال بين اللوحة ( $P$ ) ومجمع الإلكترونات ( $C$ ) باعتبارهما مصنوعان من مادتين مختلفتين *contact potential difference*. إن المعلومات الأساسية التي تسجلها أجهزة القياس في دراسة هذه الظاهرة والتي نحصل عليها من خلال هذه التجربة، ببینها الشكل (2-15).



الشكل (2-15)

يوضح المعلومات الأساسية المأخوذة من أجهزة القياس الموضحة في الشكل (15-1) ويظهر في الشكل (2-15) التيار الناتج عن الإلكترونات الضوئية ( $i$ ) كتابع للجهد ( $V$ )، وذلك لشعاعين ضوئيين بشدتي إضاءة مختلفة ولكن بالطول الموجي نفسه

إن الجهد المبين في هذا الشكل ( $V_0$ ) هو عبارة عن جهد الإيقاف *stopping potential*، وهو عبارة عن فرق الجهد اللازم لإيقاف الإلكترونات الضوئية السريعة مما يجعل التيار الكهروضوئي مساوياً للصفر عند هذه القيمة، ويمكننا إيجاد مقدار الطاقة الحركية للإلكترونات ذات الطاقة العالية وفق المعادلة:

$$K_m = eV_0 \quad (15-6)$$

وكما يلاحظ من الشكل (2-15) فإن الطاقة الحركية لا تعتمد على شدة إضاءة الشعاع الضوئي الساقط، بل تعتمد على جهد الإيقاف، وهناك دراسات كثيرة تبين علاقة جهد الإيقاف ( $V_0$ ) بتردد الشعاع الساقط في مناطق مختلفة للطيف الكهروضوئي.

لقد وضع أينشتين مبدأ حفظ الطاقة للظاهرة الكهروضوئية *principle of conservation of energy* على النحو الآتي:

$$hf = \phi + K_m \quad (15-7)$$

حيث أصبح واضحاً أن المقدار ( $hf$ ) هو عبارة عن طاقة الفرتون، ( $\phi$ ) هو عبارة عن دالة الشغل *work function* للمعدن المستخدم لصناعة الصفيحة ( $P$ )، ومن الواضح أن:

$$K_m = hf - \phi \quad (15-8)$$

( $K_m$ ): عبارة عن الطاقة الحركية القصوى التي من الممكن للإلكترونات المبعثة أن تمتلكها.

والسؤال الآن: ما هي علاقة جهد الإيقاف ( $V_0$ ) بالطول الموجي أو بتعدد الأشعة الضوئية الساقطة على اللوح المعدني؟

إن الإجابة عن هذا السؤال يمكن استنتاجها فيما إذا جمعنا بين مكونات الكميات الفيزيائية من المعادلتين (15-8) و(15-6) على النحو الآتي:

$$\begin{aligned} K_m &= V_0 e \\ (hf - \phi) &= V_0 e \\ \left(\frac{h}{e}\right)f - \left(\frac{\phi}{e}\right) &= V_0 \end{aligned}$$

أي أن العلاقة بين جهد الإيقاف ( $V_0$ ) والتردد ( $f$ ) هي من النوع الخطى *linear relationship* ويمكننا إيجاد ثابت التاسب ( $h$ ) في كلا المعادلتين (15-1) و(15-2) على النحو الآتى:

$$h = \frac{\Delta V_0}{\Delta f} = 6.6 \times 10^{-34} \text{ J.s}$$

ومن الواضح أن التغير في جهد الإيقاف ( $\Delta V_0$ ) يساوى دائماً التغير في تردد الموجة الضوئية الساقطة مضروباً في مقدار ثابت بلانك ( $h$ ).

**مثال (15-3)**

لوح من معدن البوتاسيوم، يبعد مسافة ( $r = 3.5 \text{ m}$ ) عن مصدر ضوئي قدرته ( $p = 1.5 \text{ W}$ ) أُوجد حسابياً مقدار الوقت الذي يحتاجه اللوح المعدني لكي يكتسب مقدار من الطاقة يساوي ( $1.8 \text{ eV}$ )، وذلك كي تتبع منه الإلكترونات الضوئية، بافتراض أن الإلكترونون يحصل على طاقته أثناء عملية

استقبال الأشعة الضوئية في مساحة دائيرية من اللوح نصف قطرها  $(5.3 \times 10^{-11} m)$ .

**الحل:**

المساحة الدائرية من اللوح المعدني المستقبلة للإشعاع الضوئي هي:

$$A = 3.14 \times (5.3 \times 10^{-11} m)^2 = 8.8 \times 10^{-21} m^2$$

أما شدة الإشعاع الضوئي فهي:

$$\begin{aligned} I &= \frac{P}{4\pi d^2} = \frac{1.5 W}{4\pi (3.5 m)^2} \\ &= 9.7 \times 10^{-3} W / m^2 \end{aligned}$$

أما نسبة تقاطع الطاقة مع المساحة المحددة على سطح الصفيحة فهي:

$$\begin{aligned} R &= IA = (9.7 \times 10^{-3} W / m^2) (8.8 \times 10^{-21} m^2) \\ &= 8.5 \times 10^{-23} W \end{aligned}$$

حيث  $(A)$  تساوي مساحة الدائرة من لوح معدن البوتاسيوم.

أما الوقت المطلوب فهو:

$$\begin{aligned} t &= \left( \frac{1.8 eV}{8.5 \times 10^{-23} Js} \right) \left( \frac{1.6 \times 10^{-19} J}{1 eV} \right) \left( \frac{1 min}{60 s} \right) \\ &= 56 min \end{aligned}$$

**مثال (15-4)**

في المثال السابق (15-3) افترض أن الطول الموجي للمصدر الضوئي يساوي  $(589 nm)$ ، والمساحة المتأثرة بالإشعاع الضوئي تساوي  $(1 cm^2)$ .

أوجد حسابياً نسبة عدد الفوتونات التي تصطدم مع الصفيحة المعدنية.

الحل : *Solution*

من المثال السابق:

$$I = (9.7 \times 10^{-3} \text{ W/m}^2) \left( \frac{1 \text{ eV}}{1.6 \times 10^{-19} \text{ J}} \right)$$

$$= 6.1 \times 10^{16} \text{ eV/m}^2 \text{ s}$$

إن طاقة الفوتون الواحد في هذه الحالة تساوي إلى:

$$E = hf = \frac{hc}{\lambda} = 2.11 \text{ eV}$$

وبناءً على ذلك نجد أن نسبة الفوتونات التي تصطدم بالصفيحة المعدنية

تساوي:

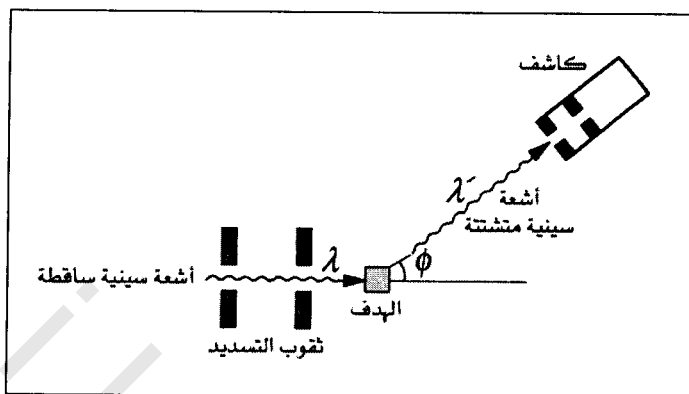
$$R = (6.1 \times 10^{16} \text{ eV/m}^2 \text{ s}) \left( \frac{1 \text{ photon}}{2.11 \text{ eV}} \right) (10^{-4} \text{ m}^2)$$

$$= 2.9 \times 10^{12} \text{ photons/s}$$

#### 4-15 تأثير (ظاهره) كومبتون : *Compton Effect*

هذه هي الظاهرة الأخرى التي تمثل نموذجاً ومثلاً عمليين على نجاح النظرية الكمية للضوء التي وضعها أينشتاين *the quantum theory of light*، إن أهمية هذه التجربة الفريدة تكمن في أنها قدمت دليلاً عملياً على حقيقة وجود الفوتونات التي تعبّر عن الضوء، وذلك من خلال تقديم البرهان الأكيد على وجود كلٍ من طاقة *energy* وعزم *momentum* للفوتون الخطي، كما أنه يشمل منطقة الأشعة السينية *x-ray* إضافة إلى منطقتي الظاهرة الكهرومagnetية، المنطقة المرئية، والمنطقة فوق البنفسجية في هذه الدراسة.

ولمعرفة المزيد حول هذه الظاهرة الهمامة، انظر الشكل (15-3).

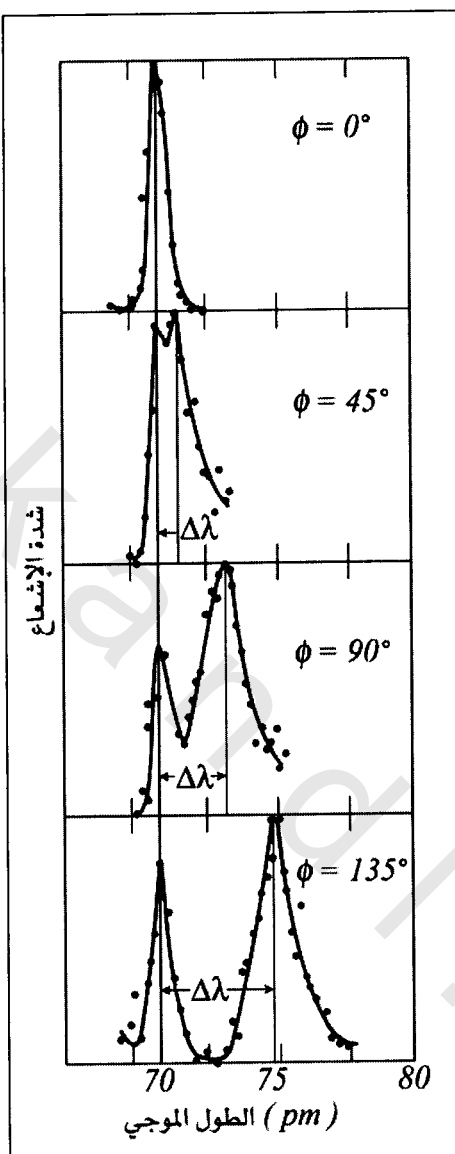


الشكل (15-3)

الترتيب الذي استخدمه كومبتون،

حيث قام بقياس كل من شدة وطول الأشعة المنشطة عن الهدف ( $T$ )

إن الشكل (15-3) يوضح الترتيب الذي وضعه كومبتون في العام 1923م Arthur Compton، أشعة سينية ( $x-ray$ ) بطول موجي يساوي ( $\lambda$ ) تسقط على الهدف ( $T$ )، لقد قام كومبتون بقياس شدة الأشعة المنشطة بعد اصطدام الأشعة السينية بالهدف، وذلك كتابع للطول الموجي في اتجاهات مختارة ومتنوعة، وعلى الرغم من أن الأشعة الساقطة على الهدف تملك طولاً موجياً واحداً، إلا أن الأشعة المنشطة تمتلك طولين موجيين، أحدهما يتواافق مع الأشعة الساقطة ( $\lambda$ ) والآخر مع الطول ( $\lambda'$ ) بحيث يكون أكبر من الطول الموجي ( $\lambda$ ) بمقدار ( $\Delta\lambda$ )، والتي تسمى تحول كومبتون Compton shift وهذا التحول يتغير بتغيير زاوية سقوط الأشعة السينية على الهدف ( $T$ )، انظر الشكل (15-4).



الشكل (15-4)

يبين اختلاف تحول كومبتون ( $\Delta\lambda$ ) بتغير زاوية قياس التشتت ( $\phi$ ) scattering angle لأربع زوايا مختلفة ( $0^\circ, 45^\circ, 90^\circ, 135^\circ$ ) ويلاحظ أن المقدار ( $\Delta\lambda$ ) يزداد بازدياد زاوية التشتت ( $\phi$ )

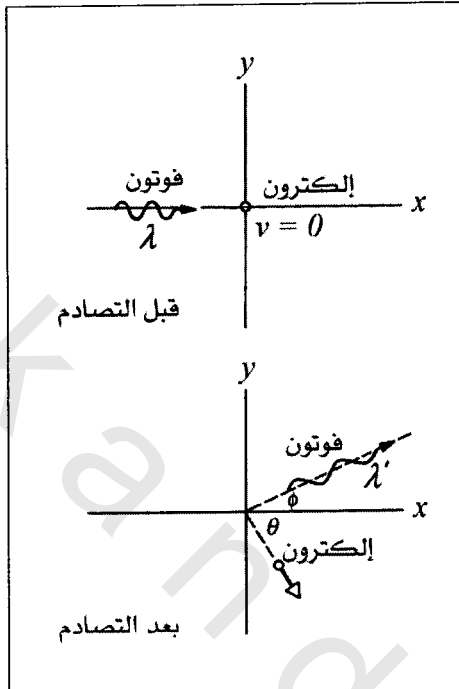
إن قمة موجة التشتت ( $\lambda'$ ) المبينة في الشكل (4-15) لا يمكن تفسير معناها إذا اعتربنا أن موجة الأشعة السينية الساقطة على الهدف هي مجرد موجة وفق النموذج السائد *wave model* قبل أن يقدم أينشتين فرضيته حول الموجة الضوئية المكتملة، حيث يقتضي هذا الفهم أن الإلكترونات التي تهتز في الهدف ( $T$ ) سوف تكتسب تردد الموجة الساقطة ( $f$ ) نفسها، إن هذه الاهتزازات *oscillations* التي تسبب الموجات المنبعثة تشبه تماماً ما تحدثه الشحنات الكهربائية المهتزة حول محور الإرسال في مولد الموجات الكهرومغناطيسية حيث تتبع هذه الموجات مبتعدة عنه بنفس تردد الشحنات المهتزة حول محوره.

وعلى هذا الأساس فإن الحزمة المتشتتة يجب أن يكون لها ذات التردد ( $f$ ) وذات الطول الموجي ( $\lambda'$ )، تماماً كالحزمة الضوئية الساقطة.

ولكن هذا ما لا يحدث في ظاهرة كومبتون، حيث أثبت كومبتون أن الأشعة الساقطة بفوتووناتها ذات الطاقة ( $E = hf$ ) وعزمها الخطى ( $p = h/\lambda$ ) تصطدم بالإلكترونات الحرجة للهدف فيحصل كما يحصل تماماً في لعبة البلياردو *billiard ball-like collisions*، حيث إن الفوتون الذي يخضع للتصادم يتشتت بطاقة ( $E'$ ) مقدارها أقل من مقدار طاقته قبل التصادم، وعلى هذا يكون مقدار ترددده أيضاً ( $f'$ ) أقل مما هو عليه قبل التصادم، ولكن مقدار طوله الموجي الجديد ( $\lambda'$ ) أكبر من مقدار طوله الموجي قبل التصادم، بينما يحصل الإلكترون المشارك في عملية التصادم على جزء من طاقة الفوتون.

ولمعرفة المزيد عن طاقة الإلكترون بعد التصادم لا بد من تطبيق مبدأ حفظ الطاقة عليه، وهذا ما لا يمكن بطبيعة الحال في هذا المقام ما لم نفسّر حقيقة ما

حدث في هذه التصادمات بناءً على النظرية النسبية، ذلك أن الإلكترون المشتت يمتلك سرعة متساوية لسرعة الضوء، ولتوسيع ذلك انظر الشكل (5-15).



الشكل (5-15) تشتت كومبتون

إن تطبيق مبدأ حفظ الطاقة على ظاهرة كومبتون بالنسبة للإلكترون المشارك في عملية التصادم تفسّر استناداً على مفهوم النظرية النسبية على النحو الآتي:

$$E = mc^2 + K^2$$

الطاقة الكلية:

$$E = hf$$

طاقة الفوتون:

$$E' = hf'$$

طاقة الفوتون المشتت:

$$K^2 = \frac{mc^2}{\sqrt{1 - \left(\frac{v}{c}\right)^2}} - mc^2$$

طاقة الإلكترون الحركية بعد التصادم:

إذن الطاقة الكلية بعد التشتت هي عبارة عن مجموع طاقة الفوتون المتشتت زائداً طاقة الحركة للإلكترون بعد التصادم *recoiling electron*

$$hf = hf' + mc^2 \left( \frac{1}{\sqrt{1 - \frac{v^2}{c^2}}} - 1 \right)$$

ويمـا أـن:

$$f = \frac{c}{\lambda} , \quad f' = \frac{c}{\lambda'}$$

إذن:

$$\frac{h}{\lambda} = \frac{h}{\lambda'} + mc \left( \frac{1}{\sqrt{1 - \left(\frac{v}{c}\right)^2}} - 1 \right) \quad (15-9)$$

إن المعادلة (15-9) هي معادلة حفظ الطاقة في ظاهرة كومبتون، والسؤال المطروح الآن، ماذا بشأن مبدأ حفظ العزم الخطى قبل وبعد التصادم

*conservation of momentum*

إن عزم الفوتون الخطى قبل التصادم يساوى إلى ( $p = h/\lambda$ )، أما عزم الإلكترون بعد التصادم وفقاً للنظرية النسبية فيساوى إلى:

$$p = \frac{mv}{\sqrt{1 - \left(\frac{v}{c}\right)^2}} \quad (15-10)$$

نحن نعلم أن العزوم هي كميات متجهة، ولهذا فإننا نستطيع إيجاد محصلة متجهات العزم من خلال الشكل (15-5) بعد التصادم، لنجعل على ما يلي:

*x-components* المركبات السينية

$$\frac{h}{\lambda} = \frac{h}{\lambda'} \cos \phi + p \cos \theta \quad (15-11)$$

*y-component* المركبات الصادبة

$$0 = \frac{h}{\lambda'} \sin \phi - p \sin \theta \quad (15-12)$$

ومن الواضح أن كلًا من الزاويتين ( $\theta, \phi$ ) يمكن قياسهما تجريبياً. بعد ذلك من السهل إيجاد انحراف كومبتون ( $\Delta \lambda$ ) وذلك على النحو الآتي:

1- نضرب المعادلتين (15-11) و(15-12) بالثابت ( $c$ ) وهو عبارة عن سرعة الضوء، ثم نعيد كتابتهما مرتبة على النحو الآتي:

$$pc \cos \theta = hf - hf' \cos \phi$$

$$pc \sin \theta = hf' \sin \phi$$

2- ثم نربع طرفي هاتين المعادلتين ونجمعهما على النحو الآتي:

$$p^2 c^2 = (hf)^2 - 2(hf)(hf') \cos \phi + (hf')^2 \quad (15-13)$$

ومن المعلوم لدينا أن الطاقة الكلية تساوي إلى:

$$E = mc^2 + K$$

$$E = \sqrt{mc^2 + p^2 c^2}$$

ومن هاتين المعادلتين نجد أن:

$$\begin{aligned} (K + mc^2)^2 &= K^2 + 2Kmc^2 + m^2c^4 = m^2c^4 + p^2c^2 \\ p^2c^2 &= K^2 + 2mc^2K \\ K &= hf - hf' \\ p^2c^2 &= (hf)^2 - 2(hf)(hf') + (hf')^2 + 2mc^2(hf - hf')(1 - \cos\phi) \end{aligned} \tag{15-14}$$

نلاحظ تساوي المعادلة (15-14) والمعادلة (15-13) والتي تؤدي إلى:

$$2mc^2(hf - hf') = 2(hf)(hf')(1 - \cos\phi)$$

وباستخدام الطول الموجي بدلاً من التردد ، ذلك لأن  $(\lambda f = c)$

و  $(\lambda'f' = c)$  نجد أن:

$$\frac{mc}{h} \left( \frac{f}{c} - \frac{f'}{c} \right) = \frac{f}{c} - \frac{f'}{c}(1 - \cos\phi) \tag{15-15}$$

$$\frac{mc}{h} \left( \frac{1}{\lambda} - \frac{1}{\lambda'} \right) = \frac{(1 - \cos\phi)}{\lambda\lambda'}$$

$$\frac{mc}{h} \left( \frac{\lambda' - \lambda}{\lambda\lambda'} \right) = \frac{(1 - \cos\phi)}{\lambda\lambda'}$$

وأخيراً:

$$\Delta\lambda = \lambda' - \lambda = \frac{h}{mc}(1 - \cos\phi) \tag{15-16}$$

وهي المعادلة التي تعبّر عن انحراف كومبتون ( $A\lambda$ ) بدلالة المقدار ( $\cos \phi$ ) حيث تمام زاوية تشتت الفوتون وكل من ( $h, m, c$ ) هي عبارة عن ثوابت، سرعة الضوء، كتلة الإلكترون، ثابت بلانك، أي أن معرفة الزاوية ( $\phi$ ) تكفي لمعرفة تأثير كومبتون.

ويمكننا الاستفادة عن هذه المقادير الثلاثة في حالة الإلكترون بعد التعويض بمقاديرها المعروفة بالمقدار:

$$\frac{h}{mc} = 2.43 \times 10^{-12} \text{ m} = 2.43 \text{ pm}$$

إنَّ المقدار (2.43 pm) يسمى الطول الموجي لكومبتون *Compton wave length*، ومن هنا يتبيَّن لنا أهمية هذه الظاهرة العلمية، حيث قدّمت تفسيراً صحيحاً لفرضية العالم إينشتاين حول الموجة الضوئية، إضافة إلى أنها مسؤولة عن ظاهرة ما يسمى بالنبضات الكهرومغناطيسية الناتجة عن الانفجارات الحرارية النووية في طبقات الغلاف الجوي العلية، وذلك بسبب أشعة غاما  $\gamma$ -ray وأشعة إكس  $x$ -ray المتولدة عن هذه التفاعلات.

إنَّ النبضات الكهرومغناطيسية آنفة الذكر تؤدي إلى إتلاف الدوائر الكهربائية في حال وصولها إلى سطح الأرض، لذا يتم التحسب مسبقاً مثل هذه الإشعاعات.

**مثال (15-5)**

تشتت أشعة إكس  $x$ -ray من عنصر الكربون بطول موجي مقداره ( $\lambda = 22 \text{ pm}$ )، حيث تبلغ طاقة الفوتون ( $56 \text{ KeV}$ )، وذلك بزاوية قدرها ( $\phi = 85^\circ$ ) بالنسبة للشعاع الساقط.

أوجد حسابياً مقدار كلٍّ:

1- انحراف كومبتون ( $\Delta\lambda$ ).

2- مقدار الطاقة الذي ستفقدها الفوتونات.

الحل : *Solution*

1- من المعلوم لدينا أنَّ انحراف كومبتون يساوي إلى:

$$\begin{aligned}\Delta\lambda &= \frac{h}{mc}(1 - \cos\phi) \\ &= \frac{(6.63 \times 10^{-34} \text{ Js})(1 - \cos 85^\circ)}{(9.11 \times 10^{-31} \text{ kg})(3 \times 10^8 \text{ m/s})} \\ &= 2.21 \times 10^{-12} \text{ m} = 2.21 \text{ pm}\end{aligned}$$

ويمكن استخدام الطول الموجي لكومبتون والبالغ ( $2.43 \times 10^{-12} \text{ m}$ )

لإيجاد انحراف كومبتون في هذه المسألة وذلك على النحو الآتي:

$$\Delta\lambda = (2.43 \times 10^{-12} \text{ m})(1 - 0.037) = 2.21 \text{ Pm}$$

وهي ذات النتيجة التي حصلنا عليها في الخطوة الأولى.

2- الجزء المفقود من الطاقة هو عبارة عن:

$$\frac{E - E'}{E} = \frac{hf - hf'}{hf} = \frac{(c/\lambda) - (c/\lambda')}{(c/\lambda)}$$

$$= \frac{\lambda' - \lambda}{\lambda'} = \frac{\Delta\lambda}{\lambda'} = \frac{\Delta\lambda}{\lambda + \Delta\lambda}$$

$$\frac{2.21 \text{ Pm}}{22 \text{ Pm} + 2.21 \text{ Pm}}$$

$$= 0.091 = 9.1\%$$

$$(\lambda' - \lambda = \Delta\lambda \Rightarrow \lambda' = \lambda + \Delta\lambda)$$

ملاحظة:

## 15-5 ثابت بلانك : Plank's Constant

إن النظرية الكلاسيكية التي فسرت الدالة الرياضية للتوزيع الإشعاعي المعروفة ( $S(\lambda)$ ) للأشعة الحرارية الصادرة عن الفجوات المشعة والمعروفة بالصيغة الرياضية المسماة بالقانون الكلاسيكي للإشعاع والتي نعبر عنها بالمعادلة الآتية:

$$S(\lambda) = \frac{2\pi c k T}{\lambda^4} \quad (15-17)$$

لم تتحقق مع القياسات العملية التي كانت متحققة بهذا الخصوص، إلى أن تمكّن العالم بلانك *Plank* في العام 1900م من وضع القانون الخاص بهذه العملية، والذي كان متقدماً تماماً مع جميع القياسات العملية، وعند جميع الأطوال الموجية والمعروفة بالمعادلة الرياضية الآتية:

$$S(\lambda) = \frac{2\pi c^2 h}{\lambda^5} \frac{1}{e^{(hc/\lambda kT)} - 1} \quad (15-18)$$

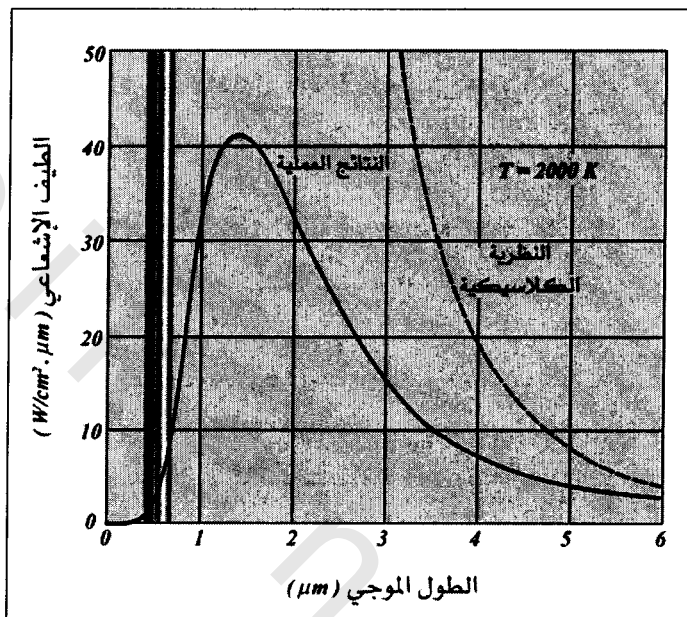
إنَّ العالم بلانك توصل إلى تحديد مقدار الثابت ( $h$ )، وذلك من خلال استخدام المعادلة (15-18)، والتي يطلق عليها قانون بلانك للإشعاع. إن الثابت ( $h$ ) يحمل اسم العالم بلانك منذ ذلك الحين والذي سبق وأن قدمنا مقداره العددي في هذا الفصل، في المعادلة (15-2).

إن الكمية الفيزيائية ( $\lambda$ ) تمثل الإشعاع الطيفي عند مقادير معينة للطول الموجي وتقاس بوحدات ( $\text{Watt/cm}^2 \cdot \mu\text{m}$ ), أما ( $c$ ) فهي سرعة الضوء، و( $k$ ) هو ثابت بولتزمان المعروف *Poltzman constant*

$$k = 1.38 \times 10^{-23} \text{ J/K}$$

$$k = 8.62 \times 10^{-5} \text{ eV/K} \quad (15-19)$$

ولبيان الفروق الجوهرية بين ما قدمه بلانك، والنظرية الكلاسيكية لتوزيع شدة الإشعاع كتابع للطول الموجي تأمل الشكل (15-6).



الشكل (15-6)

الخط المتصل يبين النتائج العملية التي تطابق ما قدمه بلانك المعادلة (15-18)، أما الخط المقطوع فهو يوافق النظرية الكلاسيكية في هذا الخصوص المعادلة (15-17).

### 6-15 مبدأ التوافق : Correspondance Principle

إن المعادلات الرياضية المستخدمة في الميكانيكا النسبية *relativistic mechanics* وكذلك المعادلات الرياضية في فيزياء الكم *quantum physics* تعود مرة أخرى إلى الحالة الكلاسيكية *familiar classical laws* عندما تكون الشروط التجريبية مهيأة لذلك، كما أن انخفاض مقدار سرعة الجسيمات المتحركة مقارنة بسرعة الضوء يعتبر من الشروط المطلوب توافرها

كي تناح الفرصة لاستخدام الميكانيك الكلاسيكي، وكمثال على ذلك سوف نناقش الشرط الذي يتوجب تحقيقه كي تعود المعادلة (15-18) التي تمثل قانون الإشعاع لبلانك *Plank's radiation law* إلى قانون الإشعاع الكلاسيكي الموضح في المعادلة (15-17).

من المعروف أن المعادلة (15-17) ممكنة الاستخدام عند الأطوال الموجية الكبيرة جداً، لنعرض الآن عن هذه الكمية بالمقدار ما لا نهاية ( $\lambda = \infty$ ) في المعادلة (15-18)، ولتبسيط مناقشة المسألة افترض أن:

$$x = \left( \frac{hc}{\lambda kT} \right)$$

وعليه تصبح المعادلة (15-18) على النحو الآتي:

$$S(\lambda) = \frac{2\pi c^2 h}{\lambda^5} \frac{1}{e^x - 1}$$

إن الحالة التي ينتهي عندها المقدار ( $x$ ) إلى الصفر ( $x \rightarrow 0$ ) توافق الحالة التي ينتهي عندها الطول الموجي ( $\lambda$ ) إلى ما لا نهاية ( $\lambda \rightarrow \infty$ )، وعليه نجد أنَّ:

$$\begin{aligned} e^x &= 1 + x + \frac{x^2}{2} + \frac{x^3}{6} + \dots \\ &= 1 + x \end{aligned}$$

وهكذا يصبح مقام الجزء الثاني على الطرف الأيمن:

$$e^x - 1 = 1 + x - 1 = x$$

وبالتعميض في المعادلة (15-18) نحصل على الآتي:

$$S(\lambda) = \frac{2\pi c^2 h}{\lambda^5} \left( \frac{1}{x} \right)$$

أي أنَّ:

$$S(\lambda) = \frac{2\pi c^2 h}{\lambda^5} \frac{\lambda k T}{hc}$$

$$S(\lambda) = \frac{2\pi c k T}{\lambda^4}$$

والتي بطبيعة الحال هي ذات المعادلة (17-15).

وهكذا نجد أن مبدأ التوافق ساري المفعول إذا ما تحقق الشرط المطلوب في هذا المثال وهو أن يكون الطول الموجي كبيراً جداً.

### 15-7 نظرية بور: Bohr's Theory

في العام 1911م، أي بعد أن قدم الفيزيائي البريطاني رutherford Ernest الفكرة الرائدة بأن هناك نواة *nucleus* في وسط الذرة، قدم العالم الكبير بور<sup>(1)</sup> Niels Bohr نموذجه لذرة الهيدروجين باعتبارها أبسط أنواع الذرات وذلك لاحتوائها على بروتون واحد *proton* والكترون واحد *electron* وأكَّد بنسبة عالية من الدقة بأن ذرة الهيدروجين تمتلك خطوطاً خاصة لطيفها *spectral lens*، كما تمكَّن من إيجاد أطوال موجات هذا الطيف بدقة وصلت إلى (0.02%). وتعتبر نظرية بور حول الذرة هي الخطوة الأساسية حول المفهوم العام للنظرية الكمية *quantum theory*. وقد استهل العالم بور التصرُّح بذلك عندما أكَّد بأن الفيزياء الكلاسيكية قد اقتربت من نهايتها، كما وضع بور فرضيتين مهمتين هما:

1- وجود ذرة الهيدروجين *hydrogen atom* في أي من مجموعة مستويات

(1) لقد حصل العالم بور على جائزة نوبل في الفيزياء عام 1922 للميلاد.

الطاقة المتدرجة الثابتة *discrete set of stationary states* العائدة لها دون أن يصدر عنها أي إشعاع، وهذا هو بداية الخروج على النظرية الكلاسيكية.

2- فرضية التردد *the frequency postulate* وفيها افترض بور بأن ذرة الهيدروجين تستطيع أن تصدر أو تمتص إشعاعاً فقط عندما تنتقل الذرة من مدار ثابت إلى آخر، والطاقة الصادرة أو الممتصة عن طريق الفوتون تساوي إلى الفرق في الطاقة بين هذين المستويين الثابتين، وقيد فرضيته بهذا الشرط.

$$h f_{if} = E_i - E_f \quad (15-19) \quad (\text{شرط بور للتردد})$$

وهذه المعادلة هي ما يعرف بشرط بور للتردد *Bohr frequency condition* والسؤال الآن هو: أين تكمن أهمية نظرية بور؟ إن أهمية هذه النظرية تكمن في أنها فسرت التركيب الذري للعناصر، ولبيان ذلك، سوف نتفحص الحركة الموجية للإلكترون في مداره حول نواة ذرة الهيدروجين.

إن طول موجة دبوري *DeBroglie wavelength* للإلكترون في ذرة الهيدروجين يساوي:

$$\lambda = \frac{h}{p} = \frac{h}{mv} \quad (\text{طول موجة دبوري})$$

حيث تمثل  $v$  سرعة الإلكترون في مداره، والتي يمكن إيجادها ببساطة شديدة من خلال معرفة كل من القوة الطاردة المركزية *centripetal force* التي نعبر عنها بالعلاقة الرياضية.

$$F_c = \frac{mv^2}{r}$$

و كذلك القوة الإلكتروستاتيكية *electrostatic force* بين كل من البروتون والإلكترون في ذرة الهيدروجين والتي تساوي إلى:

$$F_e = \frac{1}{4\pi\epsilon_0} \frac{e^2}{r^2}$$

وهما قوتان متساويان عند مدار الإلكترون، ذي نصف القطر ( $r$ )، ونذكر هنا بأن ( $\epsilon_0$ ) هو ثابت سماحية الفضاء الحر المتعارف عليه، إذن:

$$\frac{mv^2}{r} = \frac{1}{4\pi\epsilon_0} \frac{e^2}{r^2}$$

$$v = \frac{e}{\sqrt{4\pi\epsilon_0 mr}}$$

أي أن طول موجة ديرولي يساوي:

$$\lambda = \frac{h}{e} \sqrt{\frac{4\pi\epsilon_0 r}{m}} \quad (15-20)$$

وبالتعويض عن نصف مدار الإلكترون بالمقدار ( $5.3 \times 10^{-11} m$ ) نجد أن طول موجة الإلكترون هي:

$$\lambda = \frac{6.63 \times 10^{-34} Js}{1.6 \times 10^{-19} C} \left( \frac{4\pi \times 8.85 \times 10^{-12} (F/m) \times 5.3 \times 10^{-11} m}{9.1 \times 10^{-31} kg} \right)^{\frac{1}{2}}$$

$$= 33 \times 10^{-11} m$$

والمقدار ( $33 \times 10^{-11} m$ ) مساوٍ تماماً لمحيط مدار الإلكترون، وعلى هذا فإن محيط مدار الإلكترون في ذرة الهيدروجين يمثل موجة كاملة مغلقة على نفسها.

إن شرط الحصول على مدار مستقر هو:

$$n\lambda = 2\pi r_n, \quad n = 1, 2, 3, \dots \quad (15-21)$$

حيث إن  $(r_n)$  تمثل نصف قطر المدار الذي يحوي على عدد  $(n)$  من الموجات، ويدعى العدد  $(n)$  بالعدد الكمي *quantum number* للمدار، ومن المعادلتين (15-20) و(15-21) نجد أن:

$$\frac{nh}{e} = \sqrt{\frac{4\pi\epsilon_0 r_n}{m}} = 2\pi r_n$$

ومن خلال هذه المعادلة نستطيع أن نعرف مقدار أقطار المدارات المستقرة للإلكترون، وذلك كالتالي:

$$r_n = \frac{n^2 h^2 \epsilon_0^2}{\pi m e^2}, \quad n = 1, 2, 3, \dots, \quad (15-22)$$

أما أدنى مدار فيدعى بنصف قطر بور *Bohr radius* لذرة الهيدروجين ويرمز له بالرمز  $(a_0)$  حيث إن:

$$a_0 = r_1 = 5.3 \times 10^{-11} \text{ m}$$

أما أنصاف الأقطار والأخرى فتتغير بتغير العدد  $(n)$ :

$$r_n = n^2 a_0$$

لقد وجد بور أن طاقات المستويات الثابتة لذرة الهيدروجين يمكننا أن نعبر عنها بالعلاقة الرياضية:

$$E = \frac{me^4}{8\epsilon_0^2 h^2} \frac{1}{n^2}, \quad n = 1, 2, 3, \dots \quad (15-23)$$

إن أدنى مستوى للطاقة يسمى بالمستوى الأرضي أو مستوى الخمود للذرة، ونرمز له بالرمز  $(E_1)$ ، تليها المستويات العليا  $(E_2, E_3, \dots)$ ، ويساوي مقداره عددياً إلى:

$$E_l = -13.6 \text{ eV}$$

وذلك بعد التعويض عن ( $n$ ) بالعدد واحد، ويمكن على أساس هذا المقدار لطاقة المستوى الخامد للذرة تعميم المعادلة (15-22) وتبسيطها إلى الشكل الآتي:

$$E = \frac{13.6 \text{ eV}}{n^2} , \quad n = 1, 2, 3, \dots, \quad (15-24)$$

أما شرط بور للتعدد فيمكن إعادة التعبير عنه رياضياً، بعد أن توصلنا إلى تحديد طاقة المستوى الذي توجد فيه الذرة على النحو الآتي:

$$hf = \frac{hc}{\lambda} = \frac{me^4}{8\epsilon_0^2 h^2} \left( \frac{1}{l^2} - \frac{1}{u^2} \right) \quad (15-25)$$

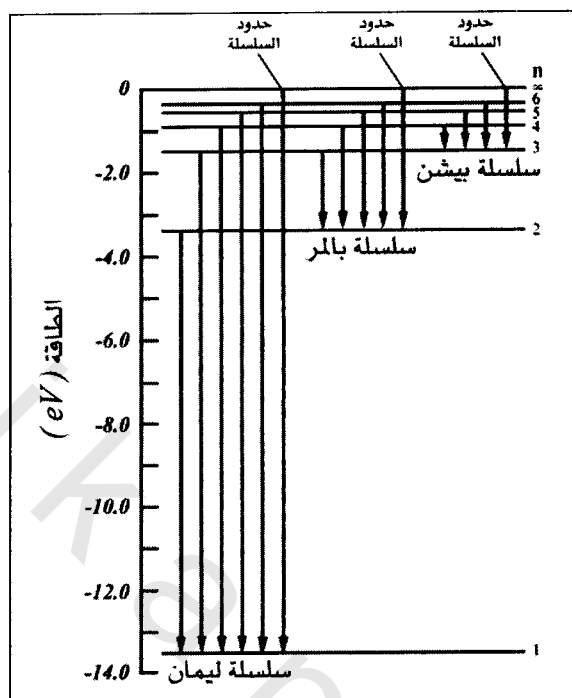
حيث إن ( $u$ ) هي العدد الكمي لمستوى الطاقة الأعلى *upper state* و( $l$ ) هي العدد الكمي لمستوى الطاقة الأسفل *lower state* والشكل (15-7) يبين بعض مستويات الطاقة لذرة البيروروجين والانتقال من مستوى إلى آخر.

أما طول موجة الانتقال ( $\lambda$ ) *transition wave length* فيعبر عنه رياضياً بالعلاقة الآتية:

$$\frac{1}{\lambda} = R \left( \frac{1}{l^2} - \frac{1}{u^2} \right) \quad (15-26)$$

حيث إن ( $R$ ) هو ثابت العالم *Rydberg constant* ويساوي مقداره عددياً إلى:

$$R = \frac{me^4}{8\epsilon_0^2 h^3 c} = 1.097 \times 10^7 \text{ m}^{-1}$$



الشكل (15-7)

بعض من مستويات الطاقة ومستويات طاقة الانتقال في نموذج بور لذرة الهيدروجين

**مثال (15-6)**

انظر الشكل (15-7)، ثم أوجد حسابياً مقدار أقل مستوى لطاقة الفوتون في سلسلة بالمر *Balmer series*

:*Solution* الحل

إن أقل انتقال بين مستوى وأخر في سلسلة بالمر تحدث بين العدددين الكميين ( $l = 2$ ) ، ( $u = 3$ ) ، إذن:

$$\begin{aligned}
 \frac{I}{\lambda} &= R \left( \frac{I}{l^2} - \frac{I}{u^2} \right) \\
 &= 0.01097 \text{ nm}^{-1} \left( \frac{1}{2^2} - \frac{1}{3^2} \right) \\
 &= 1.524 \times 10^{-3} \text{ nm}^{-1} \\
 \lambda &= 656.3 \text{ nm} \\
 E = h f &= \frac{hc}{\lambda} = \frac{4.14 \times 10^{-15} \text{ eV.s} \times 3 \times 10^8 \text{ m/s}}{656.3 \times 10^{-9} \text{ m}} \\
 E &= 1.89 \text{ eV}
 \end{aligned}$$

**مثال (15-7)**

أوجد حسابياً مقدار الطول الموجي عند نهاية سلسلة بالمر.

**الحل : Solution**

نلاحظ أن نهاية سلسلة بالمر تحدث عند:

$$\begin{aligned}
 l &= 2 \\
 u &\rightarrow \infty \\
 \frac{I}{\lambda} &= R \left( \frac{I}{l^2} - \frac{I}{u^2} \right) \\
 &= (0.01097 \text{ nm}^{-1}) \left( \frac{1}{2^2} \right) \\
 &= 2.743 \times 10^{-3} \text{ nm}^{-1}
 \end{aligned}$$

$$\lambda = 364.6 \text{ nm}$$

ملاحظة:  $\left[ \frac{I}{\infty} = 0 \right]$

obeikandl.com

## مسائل عامة محلولة

### *solved problems*

15-1 يبلغ الطول الموجي لفوتونات أشعة إكس الساقطة على إلكترون بزاوية مقدارها  $(\phi = 180^\circ)$  ،  $(\lambda = 0.01 \text{ nm})$ .

أوجد حسابياً مقدار كلٍ من:

1- التغير الحاصل في الطول الموجي للفوتون  $(\Delta\lambda)$ .

2- التغير الحاصل في طاقة الفوتون.

3- الطاقة الحركية المكتسبة للإلكترون.

الحل : *Solution*

الطول الموجي لأشعة  $(x)$  يساوي:  $(\lambda = 0.01 \text{ nm})$ .

زاوية سقوط الأشعة:  $(\phi = 180^\circ)$ .

1- التغير الحاصل في الطول الموجي:  $\Delta\lambda = ?$

$$\begin{aligned}\Delta\lambda &= \left( \frac{h}{mc} \right) (1 - \cos \phi) \\ &= \frac{6.63 \times 10^{-34} \text{ J.s}}{(9.1 \times 10^{-31}) (3 \times 10^8 \text{ m/s})} (1 - (-1)) \\ &= 4.85 \times 10^{-12} \text{ m} \\ &= 4.85 \text{ pm} = 4.85 \times 10^{-3} \text{ nm}\end{aligned}$$

$$\begin{aligned}
 \Delta E &= hc \left[ \frac{1}{\lambda'} - \frac{1}{\lambda} \right] \\
 &= hc [\lambda' - \lambda]^{-1} \\
 &= (1240 \text{ eV.s}) [(0.01 \text{ nm} + 4.85 \times 10^{-3} \text{ nm})]^{-1} - [0.01 \text{ nm}]^{-1} \\
 &= -40 \times 10^3 \text{ eV} = -41 \text{ KeV}
 \end{aligned}$$

3- مقدار الطاقة الحركية التي اكتسبها الإلكترون هو:

$$\begin{aligned}
 \Delta K &= -E = -(-40 \times 10^3 \text{ KeV}) \\
 &= +40 \times 10^3 \text{ KeV}
 \end{aligned}$$

15-2 أوجد حسابياً أقصى مقدار لانحراف الطول الموجي الناتج عن تأثير كومبتون Compton collision عند حدوث التصادم بين الفوتون والبروتون الحر.

الحل: *Solution*

المطلوب تحديد مقدار ( $\Delta \lambda_{max}$ ) بعد حدوث التصادم بين الفوتون والبروتون الحر.

باستخدام المعادلة الرياضية لتأثير كومبتون:

$$\Delta \lambda_{max} = \frac{h}{m_p c} (1 - \cos \phi)$$

نلاحظ هنا أننا استبدلنا كتلة الإلكترون بكتلة البروتون ( $m_p$ ) وهكذا فإن أقصى طول انحراف في الطول الموجي يحصل عندما يكون مقدار الزاوية ( $\phi = 180^\circ$ ).

$$\begin{aligned}
 \Delta\lambda_{max} &= \frac{h}{m_p c} \quad (2) \\
 &= \frac{2h}{m_p c} \\
 &= \frac{2(6.63 \times 10^{-34} \text{ J.s})}{(1.67 \times 10^{-27} \text{ kg})(3 \times 10^8 \text{ m/s})} \\
 &= 2.647 \times 10^{-15} \text{ m} \\
 &= 2.647 f \text{ m}
 \end{aligned}$$

3-15 تعتبر عين الإنسان أكثر إحساساً للون الأصفر المخضر *yellowgreen* بطوله الموجي الذي يساوي ( $\lambda = 550 \text{ nm}$ ).

أوجد حسائياً مقدار درجة حرارة الفجوة المشعة *radiation cavity* التي يصدر عنها هذا الإشعاع الضوئي.

**الحل :Solution**

إن الطول الموجي للون الأصفر يساوي إلى ( $\lambda = 550 \text{ nm}$ ) وتساوي ( $550 \times 10^{-3} \mu\text{m}$ ) ، ودرجة الحرارة الفجوة المشعة مجهولة.

إن العلاقة الرياضية التي تربط بين درجة الحرارة والطول الموجي عندما يكون في حدوده القصوى، هي:

$$\begin{aligned}
 \lambda_{max} T &= 2898 \mu\text{m.K} \\
 T &= \frac{2898 \mu\text{m.K}}{550 \times 10^{-3} \mu\text{m}} \\
 &= 5270 K
 \end{aligned}$$

وهكذا يمكننا معرفة درجات الحرارة لباقي الألوان، من خلال معرفتنا لأقصى طول موجي لكل منها ( $\lambda_{max}$ ).

- 15-4 إذا كانت الذرة تمتضـف فوتون بتردد مقداره ( $6.2 \times 10^{14} \text{ Hz}$ )، أوجـد حسابياً مقدار الزيادة في طاقة الذرة بسبب امتصاصها لهذا الفوتون.

**الحل:** *Solution*

إن مقدار تردد الفوتون يساوي إلى ( $\Delta f = 6.2 \times 10^{14} \text{ Hz}$ ) وهو يمثل مقدار التغير في التردد المراافق لظاهرة كومبتون، والمطلوب هو إيجاد مقدار الزيادة في طاقة الذرة.

نـحن نعلم أنَّ العلاقة الرياضية التي تعـبر عن مقدار الزيادة في الطاقة، هي:

$$\begin{aligned}\Delta E &= h \Delta f \\ &= (4.14 \times 10^{-15} \text{ eV})(6.2 \times 10^{14} \text{ Hz}) \\ &= 2.57 \text{ eV}\end{aligned}$$

- 15-5 إذا كانت الذرة التي تمتضـف فوتوناً بـطـول موجـي ( $\lambda_1 = 375 \text{ nm}$ )، وتشـعـ في الوقت ذاته فوتوناً آخر وفقـاً لـظاهرة كومبـتون وبـطـول موجـي مقداره ( $\lambda_2 = 580 \text{ nm}$ ).

أوجـد حسابياً مقدار صـافـي الطـاقـة الذي امـتصـته الذـرـة.

**الحل:** *Solution*

الـطـول المـوجـي لـلفـوتـون الـذـي يـتم امـتصـاصـه: ( $\lambda_1 = 375 \text{ nm}$ )

الـطـول المـوجـي لـلفـوتـون الـذـي تـشـعـه الذـرـة: ( $\lambda_2 = 580 \text{ nm}$ )

يمكننا حساب مقدار صافي الطاقة الذي امتصته الذرة من العلاقة الرياضية المعروفة:

$$\begin{aligned}\Delta E &= hc \left( \frac{1}{\lambda_1} - \frac{1}{\lambda_2} \right) \\ &= 1240 \text{ eV} \cdot \text{nm} \left( \frac{1}{375 \text{ nm}} - \frac{1}{580 \text{ nm}} \right) \\ &= 1.169 \text{ eV}\end{aligned}$$

15-6 تنتقل ذرة الهيدروجين من المستوى ذي العدد الكمي ( $n = 3$ ) إلى المستوى ذي العدد الكمي ( $n = 1$ ).

أوجد حسابياً مقدار كلٍ من:

- 1- طاقة الفوتون الناتج عن هذا الانتقال.
- 2- العزم الخطى، والطول الموجى لهذا الفوتون.

الحل : *Solution*

تنقل الذرة من: ( $n = 3$ ) إلى ( $n = 1$ ).

1- طاقة الفوتون الناتج عن هذا :

$$\begin{aligned}E &= E_i - E_f = \frac{(-13.6 \text{ eV})}{(3)^2} - \frac{(-13.6 \text{ eV})}{(1)^2} \\ &= 12.1 \text{ eV}\end{aligned}$$

ذلك أننا نعلم بأن طاقة الإلكترون في ذرة الهيدروجين وفقاً لحسابات العالم بور هي:

$$E = \frac{-13.6 \text{ eV}}{n^2}$$

2- عزم الإلكترون هو:

$$\begin{aligned} p &= \frac{E}{c} \\ &= \frac{(12.1 eV)(1.6 \times 10^{-19} eV/J)}{3 \times 10^8 m/s} \\ &= 6.45 \times 10^{-29} kg.m/s \end{aligned}$$

أما الطول الموجي لهذا الفوتون فهو:

$$\begin{aligned} \lambda &= \frac{hc}{E} \\ &= \frac{1240(eV.nm)}{12.1(eV)} \\ &= 102 nm \end{aligned}$$

15- يبلغ الطول الموجي لأحد خطوط طيف أشعة إكس الصادرة عن معدن الذهب ( $\lambda = 18.5 pm$ ) ، إذا كانت هذه العملية ناتجة عن انتقال الفوتونات بين مستويين ثابتين في ذرة معدن الذهب، وكانت طاقة المستوى العلوي تساوي ( $-13.7 eV$ ) .

أوجد حسابياً مقدار طاقة المستوى السفلي.

**الحل : Solution**

إن مقدار الطول الموجي: ( $\lambda = 18.5 pm$ ) ويساوي إلى ( $18.5 \times 10^{-3} nm$ ).

طاقة الفوتونات في المستوى العلوي: ( $E_i = -13.7 eV$ )

المطلوب إيجاد: ( $E_f$ )

نحن نعلم بأن فرق الطاقة في عملية الانتقال ( $\Delta E$ ) هو عبارة عن:

$$\begin{aligned}\Delta E &= E_i - E_f = h f \\ E_f &= E_i - h f \\ &= (-13.7 \text{ eV}) - \frac{hc}{\lambda} \\ &= (-13.7 \text{ eV}) - \frac{1240 (\text{eV} \cdot \text{nm})}{18.5 \times 10^{-3} (\text{nm})} \\ &= (-13.7 \text{ eV}) - (6.7 \times 10^4 \text{ eV}) \\ &= -80.7 \times 10^3 \text{ eV} = -80.7 \times 10^3 \text{ keV}\end{aligned}$$

obeikandl.com

## مسائل وتمارين الفصل الخامس عشر

### Chapter Fifteen Exercises & Problems

15-1 تعتبر المعادلة ( $E = hf$ ) هي معادلة طاقة الفوتون *energy of photon*، بين أن طاقة الفوتون مقاسة بالإلكترون فولت ( $eV$ ) بالنسبة للطويل الموجي ( $\lambda$ ) مقاساً بالنانومتر ( $nm$ ) يمكن التعبير عنها بالصيغة الآتية:

$$E = \frac{1240}{\lambda}$$

إذا كان الضوء ذو اللون البرتقالي *orange color* الصادر من مصادر إنارة الطرق السريعة، يصدر بطول موجي مقداره ( $nm = 589 nm$ ).  
أوجد طاقة الفوتون الواحد الصادر من هذا العصر.

15-3 إذا كان الطول الموجي لأشعة إكس *x-ray* يساوي إلى ( $\lambda = 35 Pm$ ).  
أوجد حسابياً مقدار كلٍ من:  
أ- طاقة الفوتونات ( $E$ ).  
ب- تردد الأشعة ( $f$ ).  
ج- عزم الأشعة ( $P$ ).

15-4 في الظروف النموذجية تستطيع عين الإنسان أن ترى الأحداث التي حولها بطول موجي ( $\lambda = 550 nm$ )، إذا كانت الفوتونات الساقطة على العين بنسبة (100) فوتون لكل ثانية.  
أوجد القدرة الموافقة لذلك.

15-5 تصدر الفوتونات الكهروضوئية من مادة معينة بدالة شغل-*work function* مقدارها ( $2.3 \text{ eV}$ ) ، وبتردد قدره ( $3 \times 10^{15} \text{ Hz}$ ).

أوجد أقصى قيمة للطاقة الحركية لهذه الفوتونات.

15-6 أوجد السرعة القصوى للفوتونات الإلكترونية *photoelectrons* التي تشيع من مادة التتفستين *tungsten*، عندما يسقط عليه إشعاع ضوئي تبلغ طاقة فوتوناته ( $5.8 \text{ eV}$ ) ، إذا علمت أن دالة الشغل للتتفستين تساوي ( $4.5 \text{ eV}$ ).

15-7 إذا كانت دالة الشغل لمعدن ما هي ( $1.8 \text{ eV}$ ).  
أوجد جهد الإيقاف *stopping potential* لضوء يبلغ طوله الموجي ( $\lambda = 400 \text{ nm}$ ) ، ثم أوجد أقصى سرعة للفوتونات الإلكترونية الصادرة عن هذا المعدن في هذه الحالة.

15-8 تبلغ قيمة جهد الإيقاف للفوتونات الإلكترونية *photoelectrons* الصادرة من سطح معدني مضاء بضوء طوله الموجي ( $\lambda = 491 \text{ nm}$ ) ، ( $0.71 \text{ V}$ ) ، وعندما تتغير الموجة الساقطة إلى طول موجي جديد ( $\lambda_2$ ) يصبح جهد الإيقاف ( $1.43 \text{ V}$ ).

أ- أوجد حسابياً مقدار الطول الموجي الجديد ( $\lambda_2$ ).

ب- أوجد حسابياً مقدار دالة الشغل للسطح المعدني.

## الخلاصة

### *Summary*

- إن أينشتاين توصل في العام 1905م إلى أن الضوء مكون من حزم مرکزة من الطاقة، والتي نطلق عليها اليوم اسم الفوتونات، ولكل فوتون مقدار من طاقة ( $E$ ) والعزم الخطى ( $P$ )، نعبر عنهم رياضياً على النحو الآتى:

$$E = hf \quad , \quad P = h/\lambda$$

- إن الظاهرة الكهروضوئية تحدث عندما تتحرر الإلكترونات من على سطح المعدن بعد امتصاصها للطاقة اللازمة لعملية التحرر من الشعاع الضوئي الساقط على سطح المعدن، ونعبر عن هذه الظاهرة رياضياً على النحو الآتى:

$$hf = \Phi + K_m$$

- إن ظاهرة كومبتون تحدث عندما تتشتت الأشعة السينية باعتبارها أشعة كهرومغناطيسية عالية الطاقة بعد اصطدامها بالإلكترونات، وتختضع هذه الأشعة لزيادة في الطول الموجي مقداره يساوي إلى:

$$\Delta\lambda = \frac{h}{mc} (1 - \cos\Phi)$$

ونصل إلى هذه المعادلة باستخدامنا لمبدأ حفظ كمية الطاقة والعزم الخطى، بعد وقبل عملية الإصطدام التي تشبه إصطدام كرات لعبة البلياردو.

- إن قياس توزيع الطاقة باستخدام الطول الموجي، وذلك للإشعاعات الصادرة عن التجاويف في الجسم الأسود، أو ما يسمى بالأجسام المتصنة النموذجية قادت إلى فكرة تكملة الطاقة، وتقديم الإنجاز العلمي في

استخدام ثابت العالم بلانك إلى حيز التطبيق، وتحديداً عندما تم التأكيد على أنَّ طاقة أيٍ من تلك الكميات غير المترتبة هو عبارة عن حاصل ضرب تردد أيٍ منها في ثابت بلانك.

- إنَّ نظرية العالم بور قدمت الخطوة الصحيحة الأولى لفتح الباب أمام ميكانيكا الكم، كما أسهمت دراسته الخاصة حول ذرة الهيدروجين إلى تقديم المعادلات الرياضية، وذلك على النحو الآتي:

$$hf_{ij} = E_i - E_j \quad (\text{شرط التردد لبور})$$

$$L = n \frac{\hbar}{2\pi}, \quad n = 1, 2, 3, \dots,$$

حيث يمثل المقدار ( $L$ ) العزم الزاوي للإلكترون وهذه المعادلة تؤكِّد على حقيقة تكميم العزم الزاوي للإلكترون في مداره.

وتتغير طاقة الإلكترون تبعاً للعدد الكمي ( $n$ ) وفقاً للمعادلة:

$$E = -\left(\frac{me^4}{8\varepsilon_0^2 h^2}\right) \frac{1}{n^2} = \frac{-13.6 \text{ eV}}{n^2}$$

$$n = 1, 2, 3, \dots,$$

حيث إنَّ ( $n$ ) هي العدد الكمي.

ونعبر عن تغير الطاقة بين مستويين ثابتين في ذرة الهيدروجين بالعلاقة:

$$\frac{1}{\lambda} = R \left( \frac{1}{\ell^2} - \frac{1}{u^2} \right)$$

حيث إنَّ ( $u$ ) العدد الكمي لمستوى الطاقة الأعلى، و( $\ell$ ) العدد الكمي لمستوى الطاقة الأدنى، ( $R$ ) هو ثابت ريدبيرج، بينما تعبُّر ( $\lambda$ ) عن الطول الموجي للفوتون المرافق لعملية الانتقال.